

Ho-Ga

Ug Gá2 / Me = Y, La, Ce, P<sub>4</sub>, Nd Sm  
Gd, Tb, Dy, Ho Er). 1961  
(spécies. cérp-pa)

Haszko S.  
VIII 4241

Trans. Metallurg. Soc. AIME,  
1961, 221, or 1, 201-202

PN, 1961, 8 del 72

editio

140 Глаз 389-VIII-4140, VIII-4140 1964  
VIII-4137

(kp. син) Крымская обл. Р. Т.,  
и зп.

Укр. геол. ж.,  
1964, N 8, 908

---

Берега Тиман

Глаз, Глаз, Тиман

Uganda (N=44 R3d, space 6, 48)  
Karamoja camp 10a VIII 6<sup>1964</sup>

Dwight H. S., Gervais J. W.,  
Carrasco R. S., Acta crystallogr.  
1964, 23 N5, 820.

PX 1968

75307

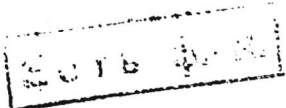
Mel

Mg<sub>2</sub> / M = Nd, Sm, Ho, Er, Tm,<sup>1967</sup>  
Lu) (spurz. cap-pa)

Rieger W., Barthé' E., VIII-4357

Monatsh. Chem. VIII 3857

1967, 98, nr 5, 1935-1940



PX, 1968, 2452258 Mr

$\text{La}_5\text{Ga}_3$ ;  $\text{Nd}_5\text{Ga}_3$ ;  $\text{Sm}_5\text{Ga}_3$ ;  $\text{Gd}_5\text{Ga}_3$  VIII 194  
 $\text{Tb}_5\text{Ga}_3$ ;  $\text{Dy}_5\text{Ga}_3$ ;  $\text{Ho}_5\text{Ga}_3$ ;  $\text{Er}_5\text{Ga}_3$ ;  $\text{Tm}_5\text{Ga}_3$ ;  
 $\text{Lu}_5\text{Ga}_3$  Kpuciu. cū-pa

Palevzon et al., Franceschi L., J. Less-Common Metals 1968, 14, N1, 47-53

The crystal structure of rare-earth gallides ( $\text{Eu}_5\text{Ga}_3$ )

PX

Mr.

CC78 92.1

$\text{Nd}_2\text{Ti}_2\text{O}_7$	$\text{Nd}_2\text{Sn}_2\text{O}_7$ ; $\text{Nd}_2\text{Zr}_2\text{O}_7$ , $\text{Nd}_2\text{Ga}_5\text{O}_7$	1969
$\text{Y}_2\text{Ti}_2\text{O}_7$ ; $\text{Yb}_2\text{Sn}_2\text{O}_7$ ; $\text{Yb}_2\text{Zr}_2\text{O}_7$ ; $\text{Yb}_2\text{Ga}_5\text{O}_7$ (p)	, 8	
$\text{Tb}_2\text{Li}_2\text{O}_7$ ; $\text{Tb}_2\text{Sn}_2\text{O}_7$ ; $\text{Tb}_2\text{Zr}_2\text{O}_7$ ; $\text{Tb}_2\text{Ga}_5\text{O}_7$		
$\text{Gd}_2\text{Ti}_2\text{O}_7$ ; $\text{Gd}_2\text{Sn}_2\text{O}_7$ ; $\text{Gd}_2\text{Zr}_2\text{O}_7$ ; $\text{Gd}_2\text{Ga}_5\text{O}_7$	VIII 348	
$\text{Ho}_2\text{Ti}_2\text{O}_7$ ; $\text{Ho}_2\text{Sn}_2\text{O}_7$ ; $\text{Ho}_2\text{Zr}_2\text{O}_7$ ; $\text{Ho}_2\text{Ga}_5\text{O}_7$		
$\text{Er}_2\text{Ti}_2\text{O}_7$ ; $\text{Er}_2\text{Sn}_2\text{O}_7$ ; $\text{Er}_2\text{Zr}_2\text{O}_7$ ; $\text{Er}_2\text{Ga}_5\text{O}_7$		
Peotz	H.W. f. Wielinga P.S.; Huiskamp W.Y.	
Plusiea	1969, 43(4), 549-68.	
float care	capacity	measurements on double oxides, $\text{R}_2\text{M}_2\text{O}_7$
5 (p)	30	CA, 1969, 21, N10, 43021N

VIII  $R_5G_{23}$ ;  $R = La, Nd, Sm, Gd, Tb, Ho, Er, Tm, Lu$ . 1969.  
abc.

VIII: 3422

Dzirne d., Kurs'kevich II.I.

Donsbige fil YPCP, 1969, A, N3, 247-250.

Cu-enriched Cr<sub>5</sub>B<sub>6</sub> in Mn<sub>5</sub>Si<sub>3</sub>B and  
Ternary intermetallic phases - 2nd part.

Mit ESR 9-6

FeGa, NdGa, SmGa, GdGa, (T<sub>1</sub>)<sup>1971</sup>  
TbGa, DyGa, HoGa, ErGa (T<sub>1</sub>ropu)

Fujii H., Shohata N., Okamoto T,  
Tatsumoto E.

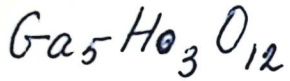
vII.5396

J. Phys. Soc. Jap., 1971, 31, N5, 1592 (ann.)

Magnetic properties of rare earth  
gallium compounds. R.Ga.

An (cp) \ 3

O.F. 1972, 10, N8, 391353



Mazumur.  
(Cp)

Hamman J.  
Manneville P.

Low Temp. Phys. LT 13,  
Proc. Int. Conf. Low. Temp.  
Phys. 13th 1972 (Pub. 1974)  
2, 328-33 (Eng.).

1974

● (cu  $\text{Ga}_5\text{Tb}_3\text{O}_{12}$ ; T)

C.A. 1975. 82. N12

$\text{Pr}_2\text{Ga}_2\text{S}_3 \cdot 3\text{H}_2\text{O}$ ;  $\text{Nd}_2\text{Ga}_2\text{S}_{2,95} \cdot 4\text{H}_2\text{O}$ ; 1975

$\text{Eu}_2\text{Ga}_2\text{S}_3 \cdot 4\text{H}_2\text{O}$ ;  $\text{Gd}_{11}\text{Ga}_2\text{S}_3 \cdot 3\text{H}_2\text{O}$ ;  $\text{Ho}_2\text{Ga}_2\text{S}_3 \cdot 5\text{H}_2\text{O}$ ,  
 $\text{Lu}_2\text{Ga}_2\text{S}_{2,95} \cdot 4\text{H}_2\text{O}$  ( $T_m$ ) XVIII - 477

Накодашвилу Е.Ж., ТАДИКРЕЛЧОЗС Р.В.  
В сб. „Получение и исследование соединений  
РЗЖ”. Киев, 1975, 141-145  
„Получение и исследование  
ядиота РЗЖ”.

PH. Кум, 1975

15B12

○

Б. С.  
11.11.1975  
ССР

Hg Ba<sub>2</sub> 1978

T. Neel

Tsou J. H., et al  
J. Appl. Phys. 1978  
49(3, Pt. 2) 1507-9.



ed. Ce Ba<sub>2</sub>-

1978

$\text{Ho}_5\text{-Ga}_3$   
 $\text{Ho Ga}_3$   
 $\text{Ho Ga}$   
 $\text{Ho Ga}_2$   
 $\text{Tm}_x \text{Ga}_y$   
 $(\text{Tm})$

89: 118517q Holmium-gallium and thulium-gallium phase diagrams. Yatsenko, S. P.; Semyannikov, A. A.; Chuntonov, K. A. (Sverdlovsk, USSR). *Izv. Akad. Nauk SSSR, Met.* 1978, (3), 201-4 (Russ). DTA and x-ray diffraction were used to study the phase compn. of Ho-Ga and Tm-Ga alloys. The Ho-Ga system contains 4 compds:  $\text{Ho}_5\text{Ga}_3$  and  $\text{HoGa}_3$  incongruently m. 1230 and 870°, resp.;  $\text{HoGa}$  and  $\text{HoGa}_2$  congruently m. 1280 and 1270°, resp. No homogeneity region could be detected for this system. The Tm-Ga system contains 5 compds. 3 of which ( $\text{Tm}_5\text{Ga}_3$ ,  $\text{TmGa}$ , and  $\text{GmGa}_3$ ) have been reported (Conner, R. A., et al., 1967). According to x-ray anal. the new compds. are  $\text{Tm}_2\text{Ga}_3$  and  $\text{TmGa}_2$ .  $\text{Tm}_5\text{Ga}_3$ ,  $\text{TmGa}$ , and  $\text{Tm}_2\text{Ga}_3$  congruently m. 1340, 1320, and 1280°, resp., while  $\text{TmGa}_2$  and  $\text{TmGa}_2$  form by peritectic reactions at 1240 and 960°, resp. Only  $\text{Tm}_5\text{Ga}_3$  seems to have a narrow homogeneity region. Lattice parameters are given for the intermetallic compds.

(71)

C.H. 1978.29.V14

Ho + Ga

1986

(al. crudab)

104: 175510j Thermodynamics of the formation of liquid alloys of gallium and lead with holmium. Yumshchikov, I. F.; Lebedev, V. A.; Raspopin, S. P.; Arkhipov, P. A. (Ural. Politekh. Inst., Sverdlovsk, USSR). *Zh. Fiz. Khim.* 1986, 60(2), 289-90 (Russ.). Emf. measurements over wide temp. ranges were used to derive the thermodn. characteristics of liq. alloys of Ho with Ga and Pb. An expansion for the free energy of mixing of Ga and Ho (Ho:Ga from 1:3 to 1:6) is presented, as function of temp. (660-887 K). Partial thermodn. properties of soln. of Ho in liq. melts were also calcd.

negative cb-fa

④ Ho + Pb (al. crudab)

c.a. 1986, 104, N20

Но вах

1986

12 Б3049. Термодинамика образования жидкокометаллических сплавов галлия и свинца с гольмием. Ямщиков Л. Ф., Лебедев В. А., Распопин С. П., Архипов П. А. «Ж. физ. химии», 1986, 60, № 2, 289—290

Методом э. д. с. определены парц. термодинамич. х-ки тв. гольмия в насыщ. р-рах галлия и свинца:  
 $\Delta\bar{G}_{\text{Ho(Ga)}} = -(231,9 \pm 2,8) + (73,0 \pm 3,5) \cdot 10^{-3} T$  (660—887 К);  
 $\Delta\bar{G}_{\text{Ho(Pb)}} = -(247,9 \pm 3,1) + (91,1 \pm 3,7) \cdot 10^{-3} T$  (887—1065 К);  
 $\Delta\bar{G}_{\text{Ho(Pb)}} = -(145,2 \pm 3,7) + (30,6 \pm 4,6) \cdot 10^{-3} T$  кДж/г-ат (680—950 К). Автореферат

ДНГ, ДГ;

④

Но вах



Х. 1986, 19, N/2

$\text{HoAl}_2$  1987

Sakashii M., Niu H.,  
et al.

C<sub>p</sub>; IEEE Trans. Magn.  
1987, MAG-23(5 pt.1),  
2853-5.

(ceer. GdAl<sub>2</sub>; I)

Мофаз

1995

3 Б2223. Магнитные свойства  $\beta$ - $\text{HoGa}_3$ . Magnetic properties of  $\beta$ - $\text{HoGa}_3$  / Czopnik A. // Phys. status solidi. A — 1995. — 147, № 1. — С. K35—K37. — Англ.

Исследованы магнитные свойства монокристаллов  $\beta$ - $\text{HoGa}_3$  двух типов со стехиометриями 1:3 (гексагональная модификация типа  $\beta$ - $\text{HfNi}_3$ ) и 1:6 (тетрагональная структура типа  $\text{PuGa}_6$ ). Температурные зависимости магнитной восприимчивости и электрического сопротивления показывают, что соединение антиферромагнитно упорядочивается при 6,15К. Выше точки Нееля восприимчивость образцов описывается законом Кюри-Вейсса с параметром температурой Кюри  $Q_p = -17\text{K}$  и эффективным магнитным моментом  $\mu_B = 10,7 \pm 0,1 \mu_B$ . Отмечено необычное поведение намагниченности кристаллов при направлении магнитного поля параллельно оси с и предложено его объяснение с участием внутриплоскостных антиферромагнитных взаимодействий.

Ф. М. Спиридонов

(Tz)

X. 1997, N3

F: HoGa<sub>2</sub> (G<sub>p</sub>)  
P: 1

2000

133:316655 Specific heat and magnetocaloric effect study of multiple field-induced phase transitions in HoGa<sub>2</sub>. Aoki, Y.; Urakawa, J.; Sugawara, H.; Sato, H.; Markin, P. E.; Bostrem, I. G.; Baranov, N. V. Department of Physics, Tokyo Metropolitan University Hachioji, Tokyo 192-0397, Japan Phys. Rev. B: Condens. Matter Mater. Phys., 62(13), 8935-8941 (English) 2000. Both temp. and field dependences of sp. heat C and magnetocaloric effect (MCE) were measured on a HoGa<sub>2</sub> single crystal in fields up to 8 T at low temps. down to 0.1 K. The magnetic fields were applied in the [100] direction, for which intermediate magnetic phases appear. Significant Ho nuclear contribution to C is found to dominate below 1 K and its field-independent character

reveals that the value of Ho magnetic moments does not change visibly in the measured field range irresp. of the magnetic phases. From anomalies obsd. in the C and MCE data, the reported field-vs.-temp. phase diagram is corroborated thermodynamically. One of the phase transitions occurring at  $T_t = 6.6$  K in zero field is of 1st-order transition. Magnetic entropy detd. by the MCE measurements shows an enhancement in the intermediate phases and small humps at the phase boundaries. Based on a cryst.-elec.-field model, the nuclear sp. heat, magnetic entropy of the 4f electrons, and anisotropy in the magnetization can be explained consistently. Possible origins of the reported giant magnetoresistance caused by the appearance of the intermediate phases are discussed.

Kobaz

2001

Meschel S.V. et al.,

DH,  
BECOKOTENIY.  
ZANOPUK.

g. Alloess Compd. 2001,  
819 (1-2), 204 - 209

(all. Libaz; I)